

ПОВЕРХНОСТНАЯ РЕЛАКСАЦИЯ ЭНЕРГИИ И ОТРИЦАТЕЛЬНАЯ ДИФФЕРЕНЦИАЛЬНАЯ ПРОВОДИМОСТЬ ТОНКИХ ОБРАЗЦОВ

Прима Н. А., Саченко А. В.

Экспериментальные данные, полученные на проводящих каналах или тонких образцах в форме пластин из $n\text{-Si}$ [1, 2] и $p\text{-Ge}$ [3, 4], показывают, что поверхность образцов может активно участвовать в релаксации энергии электронов проводимости (дырок), существенно снижая их разогрев в приповерхностных слоях толщиной порядка длины остывания L_ϵ ($L_\epsilon \sim \sqrt{D\tau_\epsilon}$, D — коэффициент диффузии, τ_ϵ — время релаксации энергии). В таких условиях ВАХ в греющих электрических полях становится весьма чувствительной к толщине образцов и способу обработки поверхности.

Тонкие образцы в [1-4] получены различными методами. Различались и способы обработки поверхности. Тем не менее во всех экспериментах характерная скорость поверхностного остывания S_ϵ составляла, по оценкам, $(5 \div 6) \cdot 10^6$ см/с, т. е. по порядку величины была равна тепловой скорости носителей тока v . Интересны эксперименты на образцах с обедняющим изгибом зон [2]. Они показали, что практически каждый электрон, способный преодолеть барьер и подойти к поверхности, полностью теряет свою избыточную энергию.

Последовательная микроскопическая теория релаксации энергии на поверхности в настоящее время отсутствует. Экспериментальные данные свидетельствуют о зависимости S_ϵ как от температуры решетки T_0 , так и от степени разогрева электронного газа. Обычно считают, что S_ϵ на реальной поверхности по аналогии с характерным временем релаксации в объеме степенным образом зависит от температуры носителей тока T_ϵ [6-8]:

$$S_\epsilon = S_{\epsilon 0} U^{q-1}, \quad \tau_\epsilon = \tau_{\epsilon 0} U^{1-q}, \quad U = T_\epsilon / T_0. \quad (1)$$

Цель нашей работы — указать на эффект, целиком обусловленный охлаждением электронов проводимости на поверхности и состоящий в возникновении в тонких образцах ($d \ll L_\epsilon$) S -образных ВАХ в ситуации, когда в толстых образцах ($d \gg L_\epsilon$) ВАХ монотонна. Ранее (впервые в [8], с точным численным счетом в [9]) была показана возможность существования такого эффекта в магнитном поле, параллельном греющему электрическому. Нами получены S -образные ВАХ в отсутствие магнитного поля.

Рассмотрим однородную полупроводниковую пластинку, тонкую в направлении y ($-d \leq y \leq d$). Греющее электрическое поле E и ток j направлены вдоль x . Предположим, что носители тока в образце рассеиваются квазиупруго, так что время релаксации импульса $\tau_p = \tau_{p0} U^s$ значительно меньше τ_ϵ , соответственно длина свободного пробега $l_p \ll L_\epsilon$. Это условие обычно хорошо выполняется в широком интервале температур. Кроме того, для простоты ограничимся случаем

$$l_p \ll d \ll L_\epsilon. \quad (2)$$

При произвольном соотношении между d и L_ϵ зависимость $T_\epsilon(y)$ описывается сложным дифференциальным нелинейным уравнением с переменными коэффициентами (уравнение баланса энергии) и его решения либо исследуются качественно [7, 10], либо находятся численно. В тонких (2) образцах изменение температуры по толщине невелико [10], поэтому $U(y)$ можно разложить в ряд [11]

$$U(y) = U_0 + a_1(y/L_{\epsilon 0}) + a_2(y/L_{\epsilon 0})^2 + \dots \quad (3)$$

Тогда уравнение баланса энергии (после использования граничных условий для определения коэффициентов a_1 , a_2) примет вид [11]

$$\mathcal{S}_\epsilon^2 - U_0^{r-s-1} (U_0 - 1) - \frac{\tau_{\epsilon 0} (S_\epsilon^+ + S_\epsilon^-)}{2d} \frac{U_0 - 1}{U_0^s} = 0. \quad (4)$$

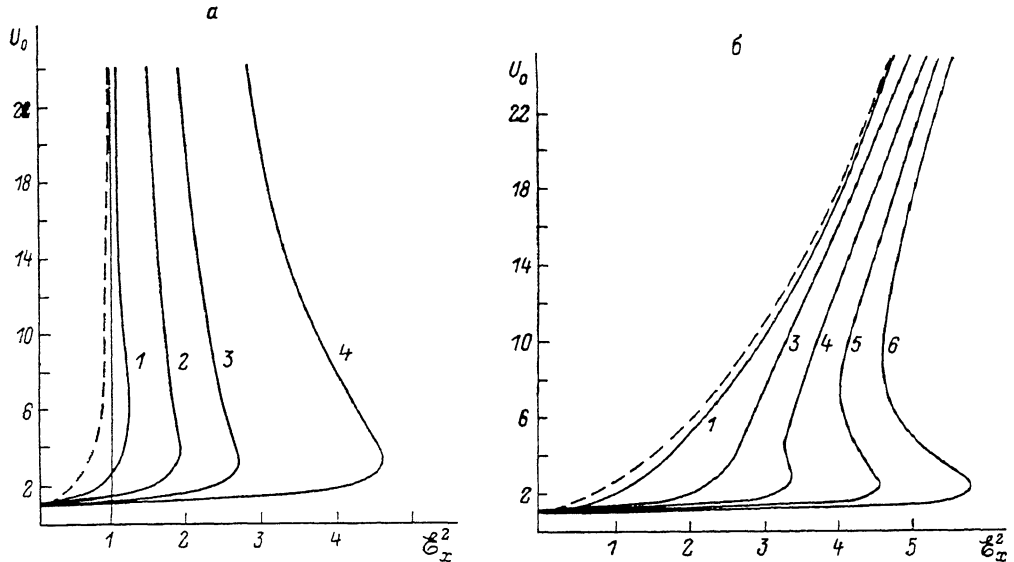
Здесь $\xi_x^2 = (eEL_{\varepsilon 0}/T_0)^2 (\xi/2 + s)^{-1}$ — безразмерное электрическое поле, $L_{\varepsilon 0} = \sqrt{D \tau_{\varepsilon 0} (\xi/2 + s)}$ — длина остыивания в слабых электрических полях, S_{ε}^{\pm} — скорости остыивания соответственно на поверхностях $y = \pm d$. Далее считаем, что обе скорости S_{ε}^+ и S_{ε}^- одинаковым образом зависят от разогрева по закону (1), и введем параметр

$$\beta = \frac{\tau_{\varepsilon 0} (S_{\varepsilon 0}^+ + S_{\varepsilon 0}^-)}{2d} \sim \frac{L_{\varepsilon 0}}{d} \sqrt{\frac{\tau_{\varepsilon 0}}{\tau_p} \frac{S_{\varepsilon 0}^+ + S_{\varepsilon 0}^-}{\delta}}. \quad (5)$$

В результате уравнение теплового баланса преобразуется к виду

$$\xi_x^2 - U \xi^{-s-1} (U_0 - 1) - \beta U \xi^{-s-1} (U_0 - 1) \equiv \xi_x^2 - f(U_0) = 0. \quad (6)$$

Заметим здесь, что (4) и (6) верны при конечных скоростях поверхностного остыивания. В теории часто рассматривается случай $S_{\varepsilon}^{\pm} \rightarrow \infty$, для которого тепловой баланс в тонких образцах записывается иначе [9].



Зависимость температуры электронов U_0 от квадрата греющего электрического поля ξ_x^2 . Согласно (6), функция $f(U_0) = \xi_x^2$. Штриховая кривая соответствует толстому образцу, сплошные — тонким образцам. Параметр β : 1 — 1, 2 — 3, 3 — 5, 4 — 10, 5 — 15, 6 — 20; а — $r-s=0$, $q-s=-0.5$; б — $r-s=0.5$, $q-s=-1$.

В толстых образцах ($d \gg L_{\varepsilon}$) последнее слагаемое в (4) отсутствует и для неперегревных механизмов рассеяния ($r-s \geq 0$) температура монотонно растет при увеличении греющего электрического поля. ВАХ образца при $r+s > 0$ также монотонна [7].

Параметр β , как видно из (5), при $S_{\varepsilon}^{\pm} \sim \delta$ по величине больше единицы и растет с уменьшением толщины образца, соответственно поверхностное охлаждение тем эффективнее (6), чем тоньше образец. Поэтому, если $r > q$, возможна ситуация, когда однозначные зависимости $U_0(\xi_x)$, характерные для толстого образца, превращаются в тонком в многозначные (S -образные), так что одному значению греющего поля ξ_x отвечают два ($r-s=0$) или три ($r-s > 0$) различных значения U_0 (см. рисунок). При этом функция $f(U_0)$ немонотонна и имеет максимум или максимум, а затем минимум с последующим монотонным нарастанием. Следовательно, S -образные зависимости $U_0(\xi_x)$ возможны, если некотором значении $U_0 = U_m$ производная $f'(U_m)$ обращается в нуль:

$$f'(U_m) = U_m^{q-s-2} \{ [(r-s) U_m^{r-q+1} - (r-s-1) U_m^{r-q}] + \beta [(q-s) U_m - (q-s-1)] \} = 0. \quad (7)$$

Рассмотрим это условие подробнее. Первая квадратная скобка для выбранных механизмов рассеяния всегда положительна, поэтому (7) может быть выполнено, только если

$$q-s < 0. \quad (8)$$

Требование (8) является необходимым, но недостаточным. Уравнение (7) на-
кладывает также ограничения и на величину β . Таким образом, математическое
условие (7) эквивалентно двум физическим требованиям: на механизм поверх-
ностного рассеяния (8) и на толщину образца

$$\beta > \beta_{\min}. \quad (9)$$

Для определения β_{\min} удобно записать из (7) β как функцию U_m

$$\beta = \frac{(r-s) U_m^{r-q+1} - (r-s-1) U_m^{r-q}}{(s-q) U_m - (s+1-q)} \equiv F(U_m) \quad (10)$$

и найти значение $F(U_m)$ в минимуме. Выражения просты, однако громоздки, поэтому мы их не приводим. Отметим только, что β_{\min} есть функция r , s , q и, как правило, для выполнения (7) оно должно быть порядка нескольких единиц или даже нескольких десятков. Очевидно, что наиболее благоприятна ситуация с малыми значениями $(r-s)$ и большими $(s-q)$. Поэтому рассматриваемое явление проще всего наблюдать в образцах, где рассеяние импульса происходит в основном на заряженной примеси и параметр s велик ($s \approx 1.5$). Чем больше β , т. е. чем тоньше образец, тем больше область полей, для которой имеется падающая ветвь на зависимости $U_0(\xi_x)$ (см. рисунок).

Протекающий через образец ток

$$j = \varepsilon_0 U_0 \xi_x, \quad (11)$$

и для механизмов рассеяния $r \neq s > 0$ в толстом образце ВАХ монотонна. В тонком образце, если выполнены условия (8), (9) и $q+s > 0$, ВАХ качественно повторяют зависимости $U_0(\xi_x)$, изображенные на рисунке, т. е. приобретают S -образный вид.

Таким образом, подход, использованный нами, позволил показать возможность существования S -образных ВАХ в тонких образцах и получить необходимые для этого критерии.

В заключение отметим, что в пластинках n -Si при типичных его параметрах и указанных механизмах рассеяния ($d \leq L_{\text{eff}} \approx 3$ мкм, $s=1.5$, $r=1.5$, $q < r$, $S_{\xi} \sim 10^7$ см/с) S -образные ВАХ при $T_0=80$ К должны наблюдаться в полях $E \geq 20$ В/см. Для поиска предсказываемого эффекта предпочтительны образцы с достаточно высокой плотностью поверхностных дефектов.

Л и т е р а т у р а

- [1] Климовская А. И., Снатко О. В., Мельников В. И. Размерный эффект на горячих электронах в кремнии. — В кн.: Тр. IX Межд. конф. по физике полупроводников. Л., 1969, т. 2, с. 848—852.
- [2] Климовская А. И., Кириллова С. И., Снатко О. В. Влияние обработки поверхности кремния на размерные эффекты. — ФТП, 1974, т. 8, в. 4, с. 702—710.
- [3] Зотьев Б. П., Кравченко А. Ф., Скок Э. М. Размерный эффект в электропроводности полупроводниковых пленок. — ФТП, 1972, т. 6, в. 7, с. 1377—1379.
- [4] Вильмс П. П., Сардарян В. С., Добровольский П. П., Копылова С. В. Нелинейность тока в пленках германия в магнитном поле. — Письма ЖЭТФ, 1969, т. 10, в. 8, с. 377—380.
- [5] Рашиба Э. И., Грибников З. С., Кравченко В. Я. Аннозотропные размерные эффекты в полупроводниках. — УФН, 1976, т. 119, в. 1, с. 3—46.
- [6] Саченко А. В. Влияние областей пространственного заряда на граничные условия к размерным эффектам. — ФТП, 1977, т. 11, в. 3, с. 456—460.
- [7] Басс Ф. Г., Бочков В. С., Гуревич Ю. Г. Электроны и фононы в ограниченных полупроводниках. М., 1984. 288 с.
- [8] Басс Ф. Г., Бочков В. С., Гуревич Ю. Г. Вольтамперные характеристики ограниченных образцов. — ФТП, 1973, т. 7, в. 1, с. 3—32.
- [9] Акопян А. А., Грибников З. С. Отрицательная дифференциальная проводимость, обусловленная поверхностным охлаждением электронного газа в полупроводниках. — Письма ЖТФ, 1980, т. 6, в. 15, с. 900—903.
- [10] Прима Н. А. Поперечное магнитосопротивление тонких полупроводниковых слоев в греющих электрических полях. — ФТП, 1975, т. 9, в. 3, с. 543—648.
- [11] Прима Н. А., Саченко А. В. Проводимость тонких полупроводниковых пластин в греющих электрических полях. — ФТП, 1981, т. 15, в. 8, с. 1632—1634.